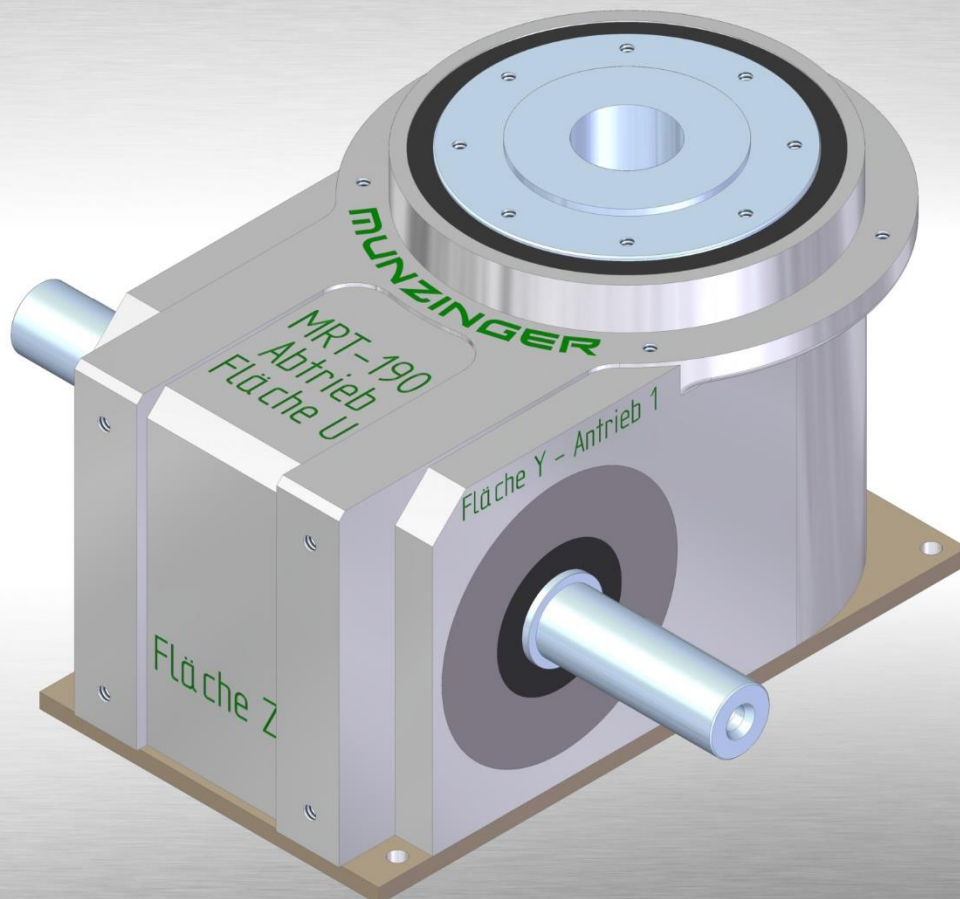


MUNZINGER

KURVENGETRIEBE

MRT - Globoidrundtische



Inhalt

| | | |
|----------|---|-----------|
| 1 | Allgemeines | 2 |
| 1.1.1 | Hinweise | 2 |
| 1.1.2 | Impressum..... Fehler! Textmarke nicht definiert. | |
| 2 | Vorteile Globoidkurven-Rundschalttische..... | 4 |
| 2.1 | Standardausführung | 5 |
| 2.2 | Einbaulage und Ölarmaturen | 6 |
| 2.2.1 | Einbauposition B | 6 |
| 2.2.2 | Einbauposition D | 6 |
| 2.3 | Drehrichtung An- und Abtrieb..... | 7 |
| 2.3.1 | Rechtsgängiges Getriebe..... | 7 |
| 2.3.2 | Linksgängiges Getriebe | 7 |
| 3 | Technische Daten | 8 |
| 3.1 | MRT-190..... | 8 |
| 3.2 | MRT-267..... | 12 |
| 4 | Fragebogen Drehteller | 16 |
| 5 | Fragebogen Kettenförderer | 17 |

1 Allgemeines

Die Maßeinheiten entsprechen dem Internationalen System / Severity Index SI. Allgemeintoleranzen der Fertigung entsprechen UNI - ISO 2768-1.

Abbildungen und Zeichnungen nach UNI 3970 (ISO 128-82).

Verfahren zur Projektion der Zeichnungen nach DIN ISO 5456-2, Projektionsmethode 1.

Weitergabe sowie Vervielfältigung des Kataloges, Verwertung und Mitteilung ihres Inhalts sind verboten, soweit nicht ausdrücklich gestattet. Zuwiderhandlungen verpflichten zu Schadenersatz. Alle Rechte für den Fall der Patent-, Gebrauchsmuster- oder Geschmacksmustereintragung vorbehalten.

1.1.1 Hinweise

In diesem Katalog werden die Munzinger Globoidkurven-Rundschaltschleifer beschrieben.

Inhaltsverzeichnis

Diesem Katalog ist ein Gesamtinhaltsverzeichnis vorangestellt. Hier finden Sie die Kapitel in einer Übersicht.

Überschriften und Seitenzahlen

Die Kapitel sind fortlaufend nummeriert. Jedes Kapitel ist in sich geschlossen fortlaufend nummeriert.

Abbildungen

Alle Abbildungen, Maße und technischen Daten in dieser Betriebsanleitung sind unverbindlich.

Querverweise

Querverweise informieren Sie über weitergehende Beschreibungen innerhalb des Kataloges (Kapitelnummer/Seitenzahl).

Technische Informationen

Die in diesem Katalog enthaltenen technischen Informationen, Abbildungen und Daten entsprechen dem Stand bei Drucklegung.

Unsere Produkte werden ständig weiterentwickelt. Wir behalten uns daher das Recht vor, alle Änderungen und Verbesserungen anzubringen, welche wir für zweckmäßig und erforderlich halten. Eine Verpflichtung diese auf früher gelieferte Geräte auszudehnen ist damit jedoch nicht verbunden.

1.1.2 Impressum

Munzinger Kurvengetriebe GmbH
Hofwiesenstraße 15
D-74564 Crailsheim

Telefon: 07951 / 483 25 0

Telefax: 07951 / 483 25 99

E-Mail: info@munzinger-kurvengetriebe.com

Alle Rechte vorbehalten.

Erstellt und gedruckt in Deutschland (Germany).

Crailsheim, im Januar 2024

2 Vorteile Globoidkurven-Rundschalttische

Unsere Globoidkurven-Rundschalttische werden nach dem neuesten Stand der Technik gefertigt, sie sind der heimliche Klassiker in unserem Getriebeprogramm. Sie sorgen für ein optimales Verhältnis zwischen Leistung und Platzbedarf - auch in Ihrer Anwendung. Verschiedene Baugrößen des Globoid-Schrittgetriebe-Programms, mit fein abgestuften Drehmomenten, Bewegungsgesetzen und Schaltwinkeln decken eine große Anzahl von Anwendungsfällen ab.

Auch höchste Ansprüche mit hohen Taktleistungen, kurze Schaltzeiten und hohem Wirkungsgrad kommen unsere Getriebe nach.

Deshalb gilt - ein Munzinger-Schrittgetriebe passt fast immer, auch Sonderausführungen mit Edelstahlgehäuse, Sonderwellen- und Flansche, Sonderbewegungsgesetzen usw. sind für uns kein Problem.

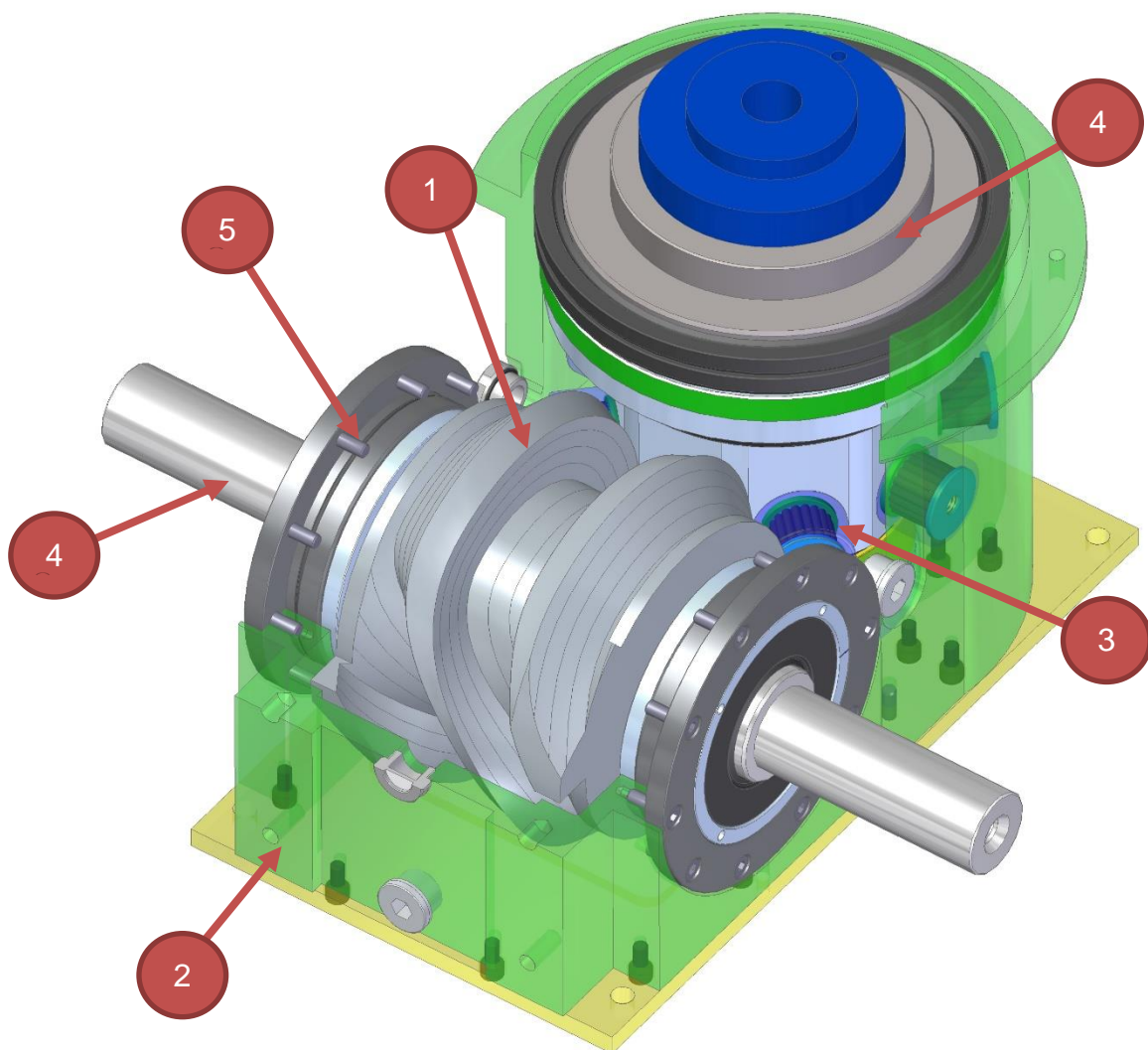
Munzinger Kurvengetriebe bieten:

- Eigene Softwareentwicklung zur Berechnung – Bewegungsgesetze sind individuell an die Kundenbedürfnisse anpassbar
- Eigens konstruierte Kurvenrollen aus Sonderstahl dadurch, haben Munzinger Getriebe eine erhöhte Tragzahlen
- Höchste Taktzahlen, über 2000 Takte/min sind möglich
- Vorgespannte, formschlüssige Positionierung des Abtriebes
- Durch zwangsgesteuerten Bewegungsablauf ist ein sanftes Anfahren und Verzögern gewährleistet
- Lebensdauer kann exakt berechnet werden - dadurch höchste Zuverlässigkeit
- Durch vorgespannte Lagerungen, Kurve-Rollensternpaarung wird ein spielfreier Aufbau ermöglicht
- Standardgenauigkeit von $\pm 0,0125$ mm (bezogen auf den Rollensternradius)
- Sondergenauigkeit bis $\pm 0,008$ (bezogen auf den Rollensternradius) mm sind möglich
- Hohe Schwingungsdämpfung durch Graugussgehäuse
- Lebensdauer geschmierte Getriebe mit Öl- oder Fettfüllung, dadurch sind die Getriebe quasi wartungsfrei
- Getriebe wird mit Prüfprotokoll dokumentiert

2.1 Standardausführung

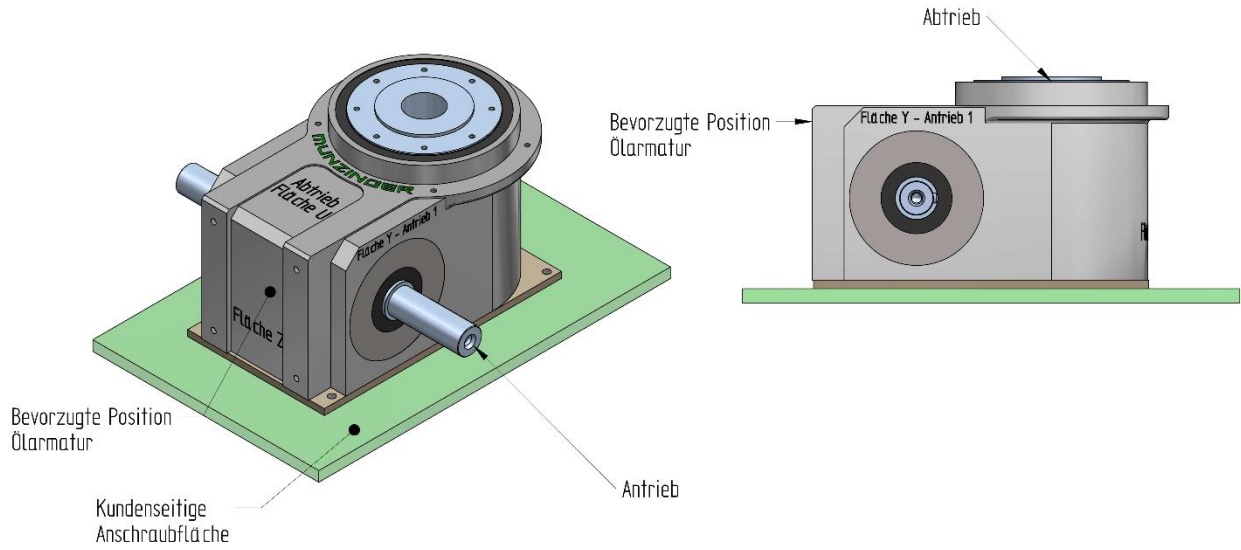
Unsere Globoidgetriebe besitzen im Standard folgende Eigenschaften:

- Gehärtete Kurven für höchste Beanspruchung (1)
- Zur optimalen Schwingungsdämpfung Gehäuse aus Grauguss (2)
- Eigenentwickelte Hochleistungs-Kurvenrollen aus Sonderstahl (3)
- An- und Abtriebswellen aus hochfestem Vergütungsstahl (4)
- Spielfreie Kurve-Rollenstern Paarung durch einstellbare Exzenter (5)
- Spielfreie, vorgespannte Kegelrollenlager
- Große Auswahl an Schritten und Schaltwinkeln
- Optimale Bewegungsgesetze
- Grundierte und lackierte Gehäuse

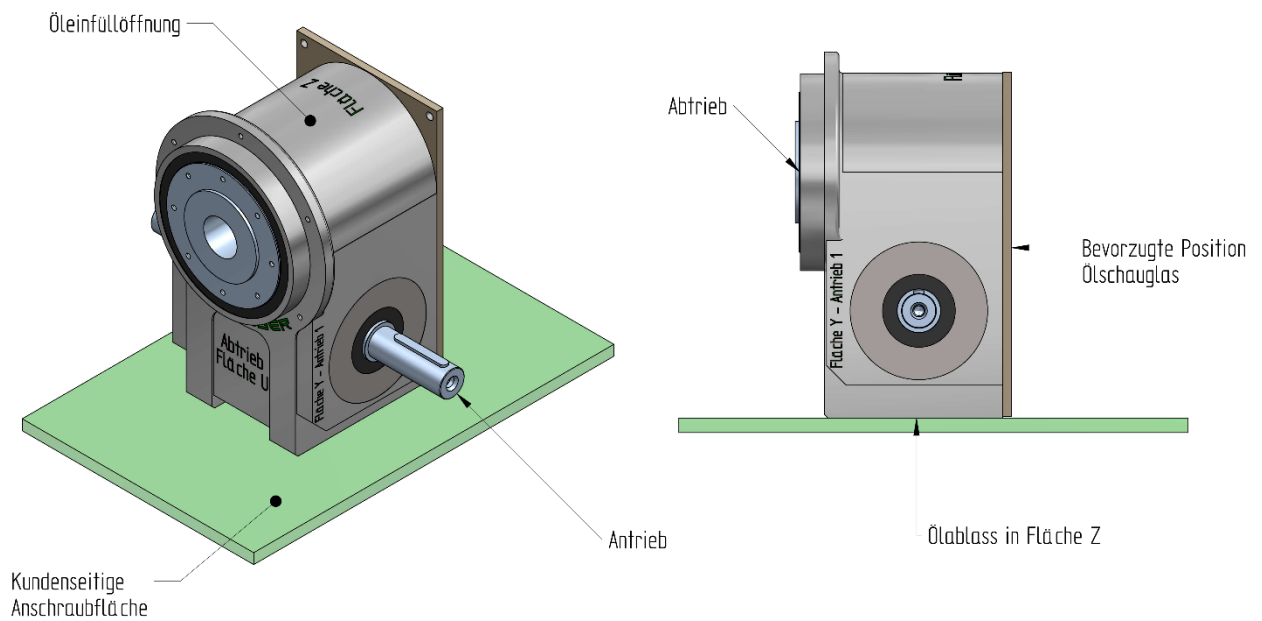


2.2 Einbaulage und Ölarmpaturen

2.2.1 Einbauposition B



2.2.2 Einbauposition D



2.3 Drehrichtung An- und Abtrieb

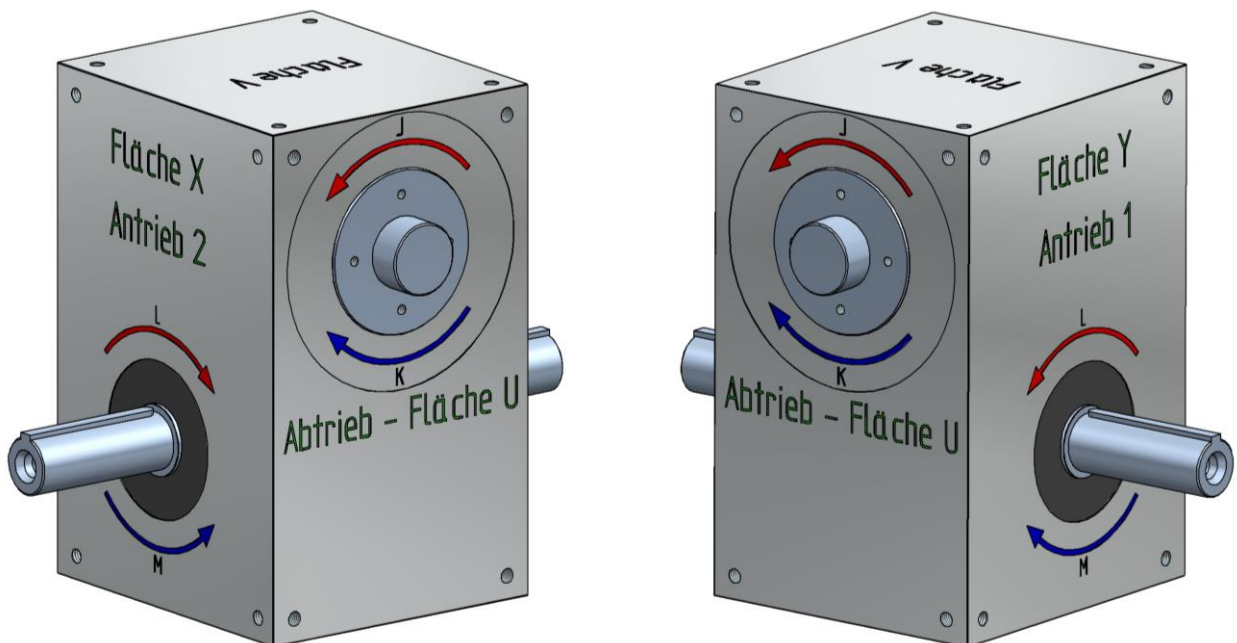
2.3.1 Rechtsgängiges Getriebe



Bei rechtsgängigen Globoidgetrieben (RH) drehen sich die Wellen (Flansche):

- Antrieb L (roter Pfeil) – Abtrieb K (roter Pfeil) – L-K
- Antrieb M (blauer Pfeil) – Abtrieb J (blauer Pfeil) – M-J

2.3.2 Linksgängiges Getriebe

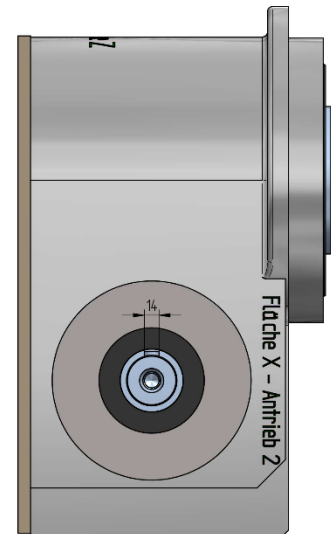
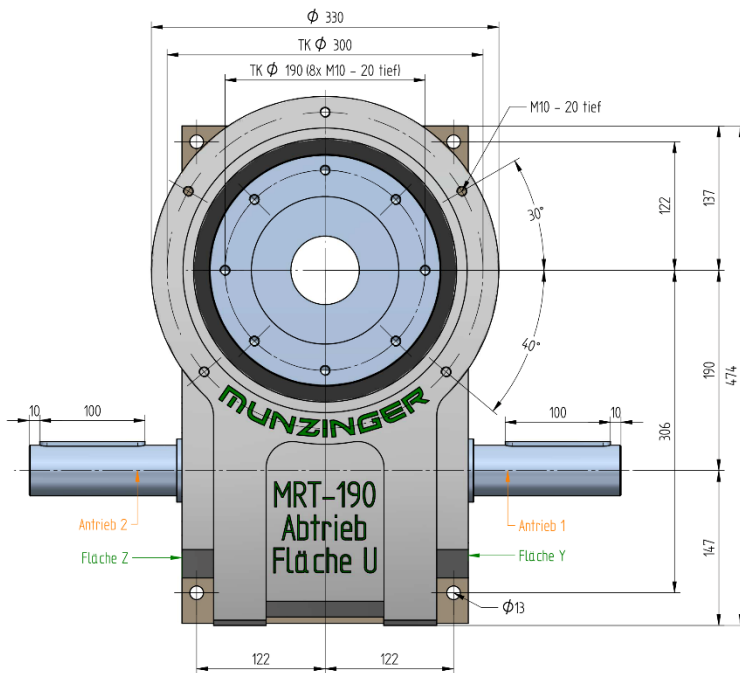
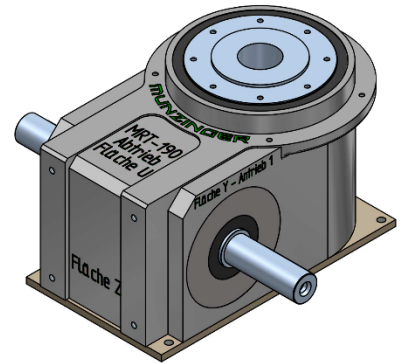
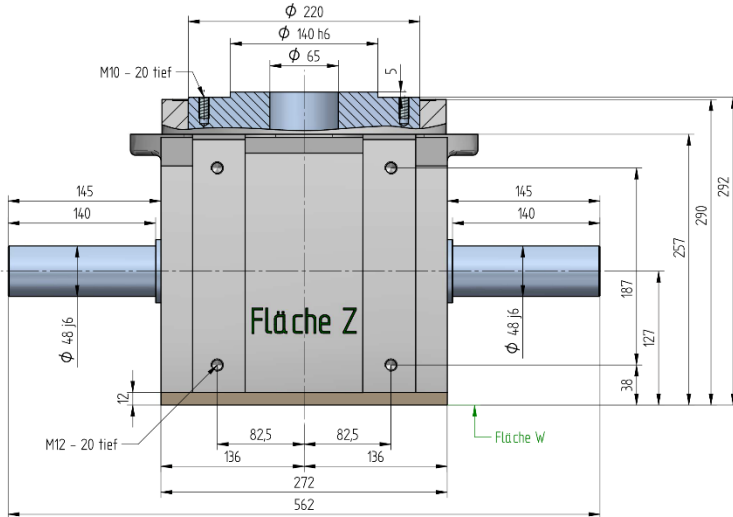


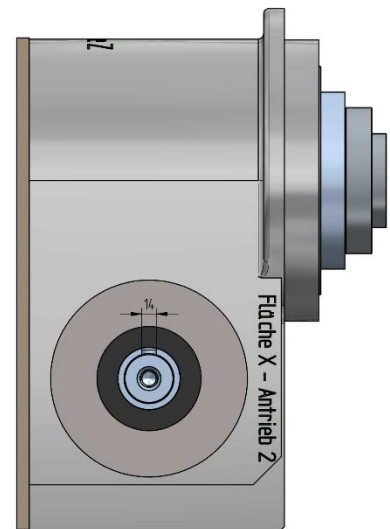
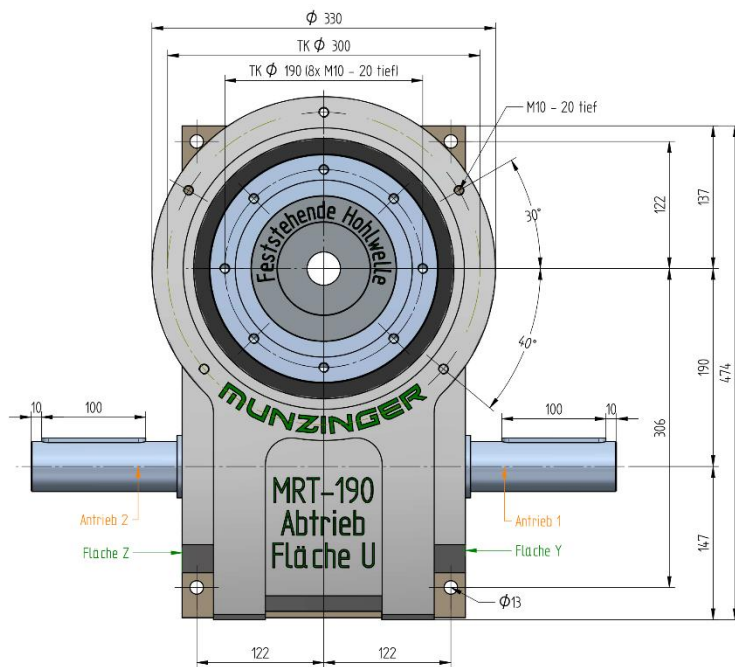
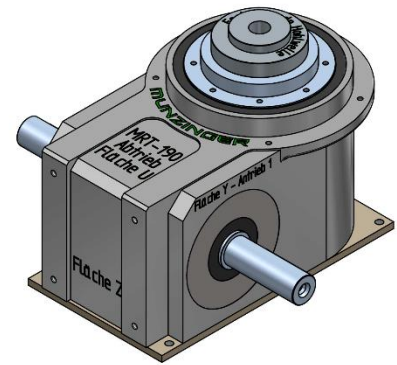
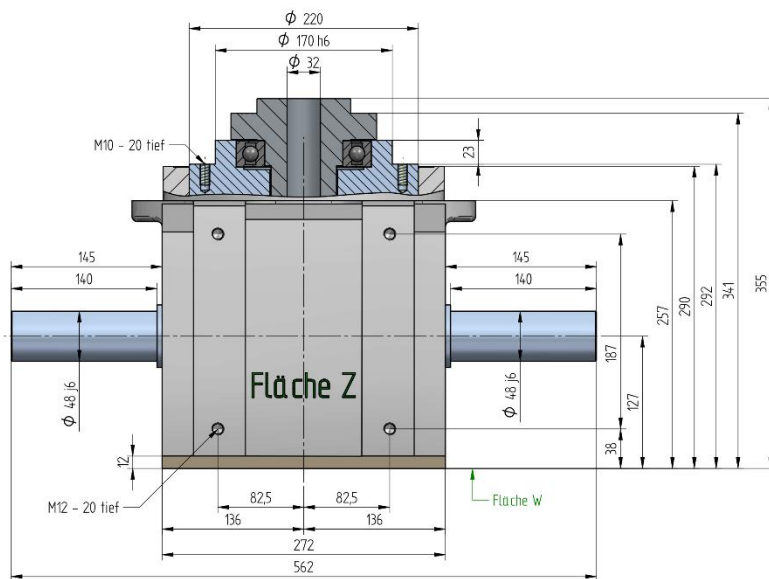
Bei linksgängigen Globoidgetrieben (LH) drehen sich die Wellen (Flansche):

- Antrieb L (roter Pfeil) – Abtrieb J (roter Pfeil) – L-J
- Antrieb M (blauer Pfeil) – Abtrieb K (blauer Pfeil) – M-K

3 Technische Daten

3.1 MRT-190



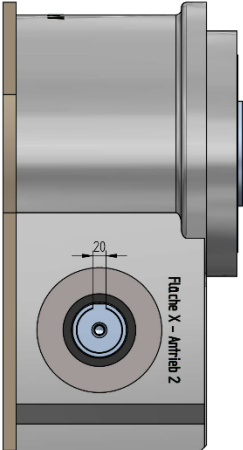
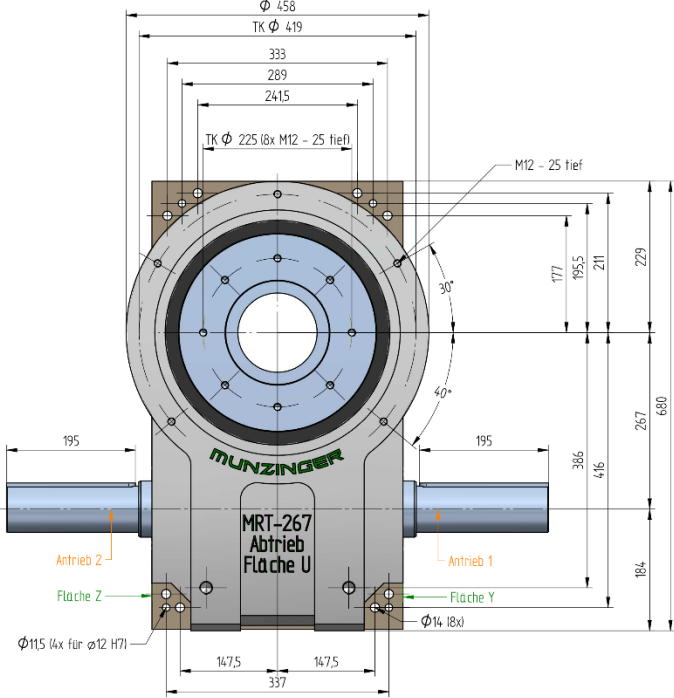
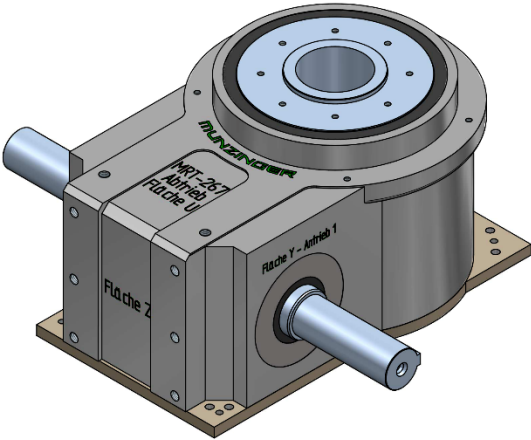
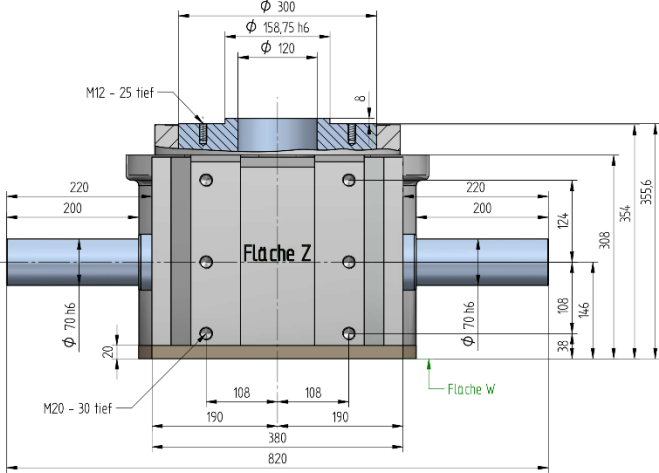


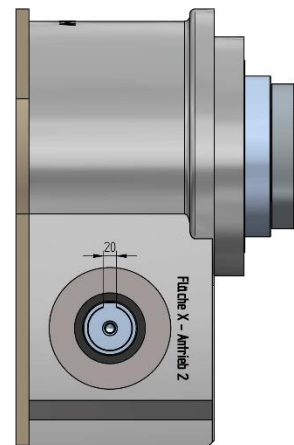
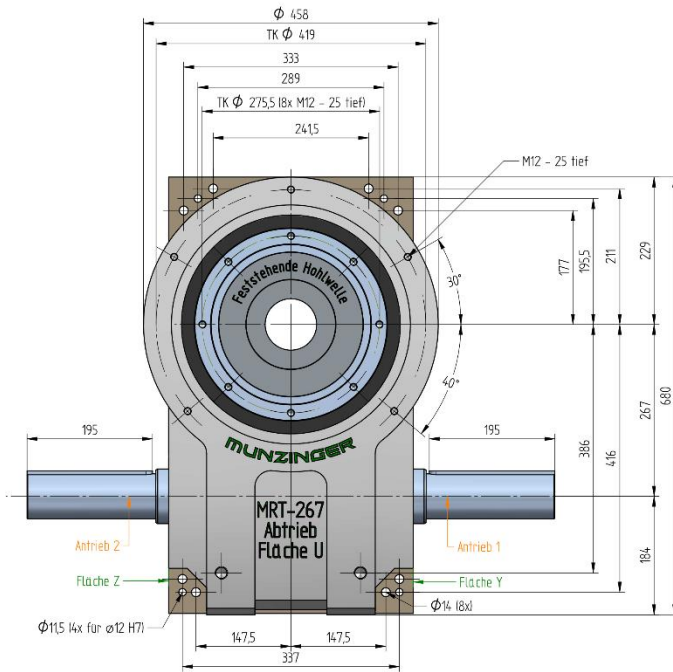
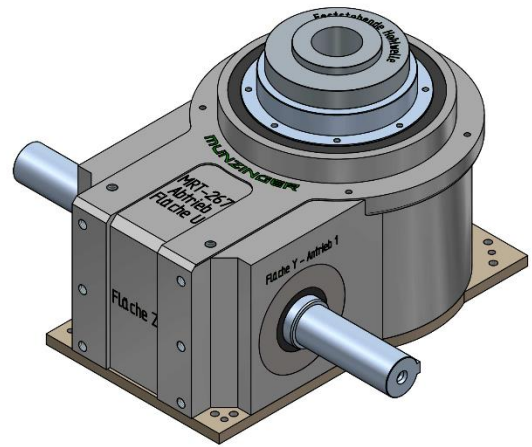
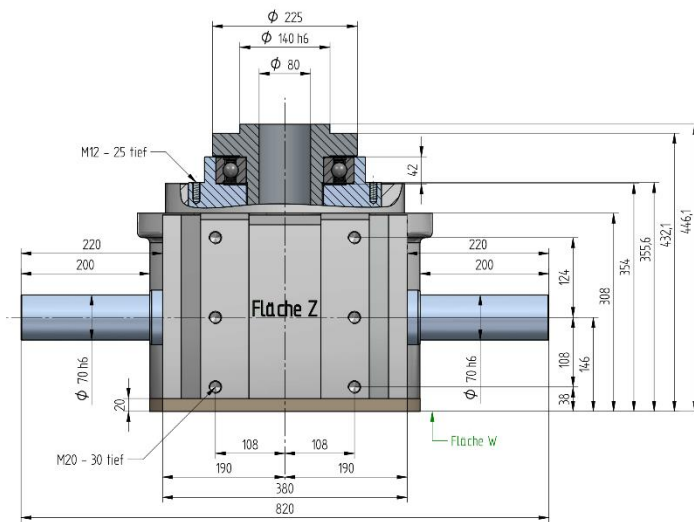
- Max. Antriebswellendurchmesser 70 mm
- Wellenenden mit Gewindeczentrierung DIN 332 / 2
- Paßfedern DIN 6885 – A
- Allgemein Toleranz DIN 7168 – mittel

| S Anzahl Schritte | α Schalt- periode | Typenbezeichnung | Bewegungs- gesetz | Kurve Typ | M_r Lh10 bei 50 S/min [Nm] | MI Moment- Grenze [Nm] | I_i Massenträg- heitsmoment [kgm ²] |
|-------------------------|--------------------------------|---------------------|----------------------|--------------|------------------------------------|---------------------------------|--|
| 2 | 300 | MRT190-02-300-MSC20 | MSC20 | 1 | 3638 | 3217 | 0,2846 |
| | 270 | MRT190-02-270-MSC33 | MSC33 | 1 | 3922 | 3177 | 0,2846 |
| | 240 | MRT190-02-240-MSC33 | MSC33 | 1 | 3905 | 2970 | 0,2846 |
| | 210 | MRT190-02-210-MSC33 | MSC33 | 1 | 2422 | 2009 | 0,2841 |
| | 180 | MRT190-02-180-MSC50 | MSC50 | 1 | 2684 | 1937 | 0,2753 |
| 3 | 270 | MRT190-03-270-MS | MS | 1 | 2479 | 3477 | 0,2846 |
| | 240 | MRT190-03-240-MS | MS | 1 | 2522 | 3286 | 0,2846 |
| | 210 | MRT190-03-210-MS | MS | 1 | 2557 | 3056 | 0,2846 |
| | 180 | MRT190-03-180-MSC20 | MSC20 | 1 | 2861 | 3967 | 0,2846 |
| | 150 | MRT190-03-150-MSC20 | MSC20 | 1 | 1808 | 1992 | 0,2613 |
| | 120 | MRT190-03-120-MSC50 | MSC50 | 1 | 2173 | 1937 | 0,2613 |
| 4 | 270 | MRT190-04-270-MS | MS | 1 | 2871 | 3881 | 0,2846 |
| | 240 | MRT190-04-240-MS | MS | 1 | 2937 | 3728 | 0,2846 |
| | 210 | MRT190-04-210-MSC20 | MSC20 | 1 | 3265 | 3738 | 0,2846 |
| | 180 | MRT190-04-180-MS | MS | 1 | 1939 | 2399 | 0,2727 |
| | 150 | MRT190-04-150-MS | MS | 1 | 1469 | 1689 | 0,2692 |
| | 120 | MRT190-04-120-MSC33 | MSC33 | 1 | 1781 | 1690 | 0,2692 |
| 5 | 270 | MRT190-05-270-MS | MS | 1 | 2019 | 3010 | 0,2651 |
| | 240 | MRT190-05-240-MS | MS | 1 | 2072 | 2922 | 0,2651 |
| | 210 | MRT190-05-210-MS | MS | 1 | 1599 | 2188 | 0,2651 |
| | 180 | MRT190-05-180-MS | MS | 1 | 1640 | 2069 | 0,2651 |
| | 150 | MRT190-05-150-MSC33 | MSC33 | 1 | 1962 | 2102 | 0,2651 |
| | 120 | MRT190-05-120-MSC20 | MSC20 | 1 | 1245 | 1079 | 0,2651 |
| 6 | 270 | MRT190-06-270-MS | MS | 1 | 2705 | 4353 | 0,2846 |
| | 240 | MRT190-06-240-MS | MS | 1 | 2786 | 4274 | 0,2846 |
| | 210 | MRT190-06-210-MS | MS | 1 | 2877 | 4167 | 0,2846 |
| | 180 | MRT190-06-180-MS | MS | 1 | 2975 | 4016 | 0,2846 |
| | 150 | MRT190-06-150-MS | MS | 1 | 3077 | 3798 | 0,2846 |
| | 120 | MRT190-06-120-MS | MS | 1 | 3167 | 3476 | 0,2846 |
| | 90 | MRT190-06-090-MS | MS | 1 | 3188 | 2991 | 0,2846 |
| 8 | 270 | MRT190-08-270-MS | MS | 1 | 3051 | 4475 | 0,2846 |
| | 240 | MRT190-08-240-MS | MS | 1 | 3149 | 4422 | 0,2846 |
| | 210 | MRT190-08-210-MS | MS | 1 | 3260 | 4347 | 0,2846 |
| | 180 | MRT190-08-180-MS | MS | 1 | 3387 | 4242 | 0,2846 |
| | 150 | MRT190-08-150-MS | MS | 1 | 3529 | 4080 | 0,2846 |
| | 120 | MRT190-08-120-MS | MS | 1 | 3680 | 3826 | 0,2846 |
| 10 | 270 | MRT190-10-270-MS | MS | 1 | 2108 | 3317 | 0,2651 |
| | 240 | MRT190-10-240-MS | MS | 1 | 2179 | 3290 | 0,2651 |
| | 210 | MRT190-10-210-MS | MS | 1 | 2259 | 3251 | 0,2651 |
| | 180 | MRT190-10-180-MS | MS | 1 | 2352 | 3194 | 0,2651 |
| | 150 | MRT190-10-150-MS | MS | 1 | 2461 | 3106 | 0,2651 |
| | 120 | MRT190-10-120-MS | MS | 1 | 2587 | 2961 | 0,2602 |
| | 90 | MRT190-10-090-MS | MS | 1 | 2042 | 2109 | 0,2602 |

| S Anzahl Schritte | α Schalt- periode | Typenbezeichnung | Bewegungs- gesetz | Kurve Typ | M_r Lh10 bei 50 S/min [Nm] | MI Moment- Grenze [Nm] | I_i Massenträg- heitsmoment [kgm ²] |
|-------------------------|--------------------------------|----------------------|----------------------|--------------|------------------------------------|---------------------------------|--|
| 12 | 270 | MRT190-12-270-MS | MS | 1 | 1691 | 2608 | 0,2922 |
| | 240 | MRT190-12-240-MS | MS | 1 | 1748 | 2592 | 0,2922 |
| | 210 | MRT190-12-210-MS | MS | 1 | 1815 | 2570 | 0,2922 |
| | 180 | MRT190-12-180-MS | MS | 1 | 1893 | 2537 | 0,2922 |
| | 150 | MRT190-12-150-MS | MS | 1 | 1986 | 2484 | 0,2922 |
| | 120 | MRT190-12-120-MS | MS | 1 | 2096 | 2396 | 0,2922 |
| | 90 | MRT190-12-090-MS C20 | MSC20 | 1 | 2414 | 2310 | 0,2922 |
| 16 | 270 | MRT190-16-270-MS | MS | 2 | 3779 | 4453 | 0,2846 |
| | 240 | MRT190-16-240-MS | MS | 2 | 3901 | 4395 | 0,2846 |
| | 210 | MRT190-16-210-MS | MS | 2 | 4039 | 4315 | 0,2846 |
| | 180 | MRT190-16-180-MS | MS | 2 | 4194 | 4199 | 0,2846 |
| | 150 | MRT190-16-150-MS | MS | 2 | 4368 | 4026 | 0,2846 |
| | 120 | MRT190-16-120-MS | MS | 2 | 4553 | 3757 | 0,2846 |
| | 90 | MRT190-16-090-MS | MS | 2 | 1889 | 1841 | 0,2720 |
| 20 | 270 | MRT190-12-270-MS | MS | 2 | 2607 | 3309 | 0,2651 |
| | 240 | MRT190-12-240-MS | MS | 2 | 2694 | 3280 | 0,2651 |
| | 210 | MRT190-12-210-MS | MS | 2 | 2793 | 3239 | 0,2651 |
| | 180 | MRT190-12-180-MS | MS | 2 | 2909 | 3179 | 0,2651 |
| | 150 | MRT190-12-150-MS | MS | 2 | 3043 | 3085 | 0,2651 |
| | 120 | MRT190-12-120-MS | MS | 2 | 3196 | 2933 | 0,2602 |
| | 90 | MRT190-12-090-MS | MS | 2 | 2521 | 1522 | 0,2602 |
| 24 | 270 | MRT190-24-270-MS | MS | 2 | 2089 | 2605 | 0,2651 |
| | 240 | MRT190-24-240-MS | MS | 2 | 2159 | 2588 | 0,2651 |
| | 210 | MRT190-24-210-MS | MS | 2 | 2241 | 2565 | 0,2651 |
| | 180 | MRT190-24-180-MS | MS | 2 | 2338 | 2530 | 0,2651 |
| | 150 | MRT190-24-150-MS | MS | 2 | 2452 | 2475 | 0,2651 |
| | 120 | MRT190-24-120-MS | MS | 2 | 2588 | 2383 | 0,2602 |
| | 90 | MRT190-24-090-MS | MS | 2 | 1818 | 1307 | 0,2602 |
| 32 | 270 | MRT190-12-270-MS | MS | 2 | 1643 | 1638 | 0,2651 |
| | 240 | MRT190-12-240-MS | MS | 2 | 1699 | 1630 | 0,2651 |
| | 210 | MRT190-12-210-MS | MS | 2 | 1765 | 1619 | 0,2651 |
| | 180 | MRT190-12-180-MS | MS | 2 | 1843 | 1603 | 0,2651 |
| | 150 | MRT190-12-150-MS | MS | 2 | 1936 | 1576 | 0,2651 |
| | 120 | MRT190-12-120-MS | MS | 2 | 2050 | 1531 | 0,2602 |
| | 90 | MRT190-12-090-MS | MS | 2 | 2190 | 1445 | 0,2602 |

3.2 MRT-267





- Max. Antriebswellendurchmesser 85 mm
- Wellenenden mit Gewindezentrierung DIN 332 / 2
- Paßfedern DIN 6885 – A
- Allgemein Toleranz DIN 7168 – mittel

| S Anzahl Schritte | α Schalt- periode | Typenbezeichnung | Bewegungs- gesetz | Kurve Typ | M _r Lh10 bei 50 S/min [Nm] | MI Moment- Grenze [Nm] | II Massenträg- heitsmoment [kgm ²] |
|-------------------------|--------------------------------|----------------------|----------------------|--------------|---|---------------------------------|---|
| 2 | 300 | MRT267-02-300-MSC20 | MSC20 | 1 | 4935 | 4356 | 0,9389 |
| | 270 | MRT267-02-270-MSC33 | MSC33 | 1 | 5274 | 4291 | 0,9389 |
| | 240 | MRT267-02-240-MSC50 | MSC50 | 1 | 5868 | 4236 | 0,9389 |
| | 210 | - | - | - | - | - | - |
| | 180 | - | - | - | - | - | - |
| 3 | 270 | MRT267-03-270-MSC50 | MSC50 | 1 | 4812 | 5617 | 0,9074 |
| | 240 | MRT267-03-240-MSC33 | MSC33 | 1 | 2753 | 3710 | 0,9074 |
| | 210 | MRT267-03-210-MSC50 | MSC50 | 1 | 3090 | 3642 | 0,9074 |
| | 180 | - | - | - | - | - | - |
| | 150 | - | - | - | - | - | - |
| 4 | 270 | MRT267-04-270-MS | MS | 1 | 5855 | 6647 | 0,9389 |
| | 240 | MRT267-04-240-MS | MS | 1 | 5953 | 6300 | 0,9389 |
| | 210 | MRT267-04-210-MS | MS | 1 | 6030 | 5878 | 0,9389 |
| | 180 | MRT267-04-180-MSC20 | MSC20 | 1 | 6744 | 5837 | 0,9389 |
| | 150 | MRT267-04-150-MSC20 | MSC20 | 1 | 4689 | 4356 | 0,9389 |
| | 120 | MRT267-04-120- MSC50 | MSC50 | 1 | 5631 | 4236 | 0,9389 |
| 5 | 270 | MRT267-05-270-MS | MS | 1 | 6548 | 7226 | 0,9929 |
| | 240 | MRT267-05-240-MS | MS | 1 | 6690 | 6935 | 0,9929 |
| | 210 | MRT267-05-210-MS | MS | 1 | 4720 | 5470 | 0,9929 |
| | 180 | MRT267-05-180-MS | MS | 1 | 4793 | 5080 | 0,9808 |
| | 150 | MRT267-05-150-MSC33 | MSC33 | 1 | 5368 | 4972 | 0,9808 |
| | 120 | MRT267-05-120-MSC33 | MSC33 | 1 | 3702 | 3348 | 0,9752 |
| 6 | 270 | MRT267-06-270-MS | MS | 1 | 4923 | 6340 | 0,9074 |
| | 240 | MRT267-06-240-MS | MS | 1 | 5046 | 6141 | 0,9074 |
| | 210 | MRT267-06-210-MS | MS | 1 | 5172 | 5880 | 0,9074 |
| | 180 | MRT267-06-180-MSC20 | MSC20 | 1 | 5775 | 5854 | 0,9074 |
| | 150 | MRT267-06-150-MSC50 | MSC50 | 1 | 7012 | 5850 | 0,8961 |
| | 120 | MRT267-06-120-MSC33 | MSC33 | 1 | 4121 | 3710 | 0,8903 |
| | 90 | - | - | - | - | - | - |
| 8 | 270 | MRT267-08-270-MS | MS | 1 | 6354 | 8170 | 0,9487 |
| | 240 | MRT267-08-240-MS | MS | 1 | 6546 | 8028 | 0,9487 |
| | 210 | MRT267-08-210-MS | MS | 1 | 6759 | 7833 | 0,9487 |
| | 180 | MRT267-08-180-MS | MS | 1 | 6991 | 7559 | 0,9487 |
| | 150 | MRT267-08-150-MS | MS | 1 | 7233 | 7161 | 0,9487 |
| | 120 | MRT267-08-120-MS | MS | 1 | 7448 | 6568 | 0,9487 |
| 10 | 270 | MRT267-10-270-MS | MS | 1 | 6954 | 8354 | 0,9929 |
| | 240 | MRT267-10-240-MS | MS | 1 | 7177 | 8250 | 0,9929 |
| | 210 | MRT267-10-210-MS | MS | 1 | 7427 | 8105 | 0,9929 |
| | 180 | MRT267-10-180-MS | MS | 1 | 7711 | 7897 | 0,9929 |
| | 150 | MRT267-10-150-MS | MS | 1 | 8026 | 7583 | 0,9929 |
| | 120 | MRT267-10-120-MS | MS | 1 | 8357 | 7093 | 0,9929 |
| | 90 | MRT267-10-090-MS | MS | 1 | 5956 | 5241 | 0,9929 |

| S Anzahl Schritte | α Schalt- periode | Typenbezeichnung | Bewegungs- gesetz | Kurvenrolle | M, Lh10 bei 50 S/min [Nm] | MI Moment- Grenze [Nm] | li Massenträg- heitsmoment [kgm ²] |
|-------------------------|--------------------------------|----------------------|----------------------|-------------|---------------------------------|---------------------------------|---|
| 12 | 270 | MRT267-12-270-MS | MS | S32 | 5152 | 7054 | 0,9074 |
| | 240 | MRT267-12-240-MS | MS | S32 | 5322 | 6989 | 0,9074 |
| | 210 | MRT267-12-210-MS | MS | S32 | 5516 | 6897 | 0,9074 |
| | 180 | MRT267-12-180-MS | MS | S32 | 5740 | 6763 | 0,9074 |
| | 150 | MRT267-12-150-MS | MS | S32 | 5998 | 6556 | 0,9074 |
| | 120 | MRT267-12-120-MS | MS | S32 | 6289 | 6220 | 0,9074 |
| | 90 | MRT267-12-090-MS | MS | S32 | 6574 | 5641 | 0,9074 |
| 16 | 270 | MRT267-16-270-MS | MS | S28 | 3618 | 5227 | 0,9389 |
| | 240 | MRT267-16-240-MS | MS | S28 | 3741 | 5198 | 0,9389 |
| | 210 | MRT267-16-210-MS | MS | S28 | 3885 | 5156 | 0,9389 |
| | 180 | MRT267-16-180-MS | MS | S28 | 4053 | 5094 | 0,9389 |
| | 150 | MRT267-16-150-MS | MS | S28 | 4253 | 4995 | 0,9389 |
| | 120 | MRT267-16-120-MS | MS | S28 | 4494 | 4828 | 0,9185 |
| | 90 | MRT267-16-090-MS C33 | MSC33 | S28 | 5497 | 4751 | 0,9102 |
| 20 | 270 | MRT267-20-270-MS | MS | S40 | 8608 | 8317 | 0,9129 |
| | 240 | MRT267-20-240-MS | MS | S40 | 8882 | 8205 | 0,9129 |
| | 210 | MRT267-20-210-MS | MS | S40 | 9191 | 8050 | 0,9129 |
| | 180 | MRT267-20-180-MS | MS | S40 | 9539 | 7827 | 0,9129 |
| | 150 | MRT267-20-150-MS | MS | S40 | 9927 | 7495 | 0,9129 |
| | 120 | MRT267-20-120-MS | MS | S40 | 10329 | 6980 | 0,9129 |
| | 90 | MRT267-20-090-MS | MS | S32 | 7354 | 5126 | 0,9089 |
| 24 | 270 | MRT267-24-270-MS | MS | S32 | 6368 | 7037 | 0,8825 |
| | 240 | MRT267-24-240-MS | MS | S32 | 6578 | 6968 | 0,8825 |
| | 210 | MRT267-24-210-MS | MS | S32 | 6817 | 6871 | 0,8825 |
| | 180 | MRT267-24-180-MS | MS | S32 | 7093 | 6729 | 0,8825 |
| | 150 | MRT267-24-150-MS | MS | S32 | 7410 | 6512 | 0,8825 |
| | 120 | MRT267-24-120-MS | MS | S32 | 7766 | 6163 | 0,8825 |
| | 90 | MRT267-24-090-MS | MS | S28 | 5149 | 4064 | 0,8825 |
| 32 | 270 | MRT267-32-270-MS | MS | S28 | 4465 | 5222 | 0,9129 |
| | 240 | MRT267-32-240-MS | MS | S28 | 4617 | 5192 | 0,9129 |
| | 210 | MRT267-32-210-MS | MS | S28 | 4794 | 5149 | 0,9129 |
| | 180 | MRT267-32-180-MS | MS | S28 | 5001 | 5085 | 0,9129 |
| | 150 | MRT267-32-150-MS | MS | S28 | 5248 | 4983 | 0,9129 |
| | 120 | MRT267-32-120-MS | MS | S28 | 5544 | 4811 | 0,9129 |
| | 90 | MRT267-32-090-MS | MS | S28 | 5891 | 4492 | 0,9089 |

4 Fragebogen Drehteller

| Schrittgetriebe - Fragebogen Drehteller | |
|--|---|
| Firma: | Datum: |
| Name: | |
| | |
| Schaltzeit [s]: | Ruhezeit [s]: |
| Anzahl Schritte pro Minute: | |
| Antriebswelle des Munzinger-Getriebes dreht dauernd: | |
| Antriebswelle des Munzinger-Getriebes wird nach jedem Schaltschritt still gesetzt: | |
| Angabe Drehteller: | |
| Außen- \varnothing D_d [mm]: | Mittenradius der Drehtellerlagerung [mm]: |
| Gewicht [kg]: | Art der Lagerung: |
| | Reibungskoeffizient: |
| Anzahl der Station (S) auf dem Drehteller: | |
| Arbeitsradius R_s [mm]: | |
| Gewicht der einzelnen Stationen [kg]: | |
| Angaben über zusätzliche von außen wirkenden Kräften / Momenten (falls gegeben): | |
| Angaben über eventuelle Übersetzung zwischen Munzinger-Getriebe und Drehteller: | |
| Erwartete Lebensdauer (in Betriebsstunden): | |

5 Fragebogen Kettenförderer

| Schrittgetriebe - Fragebogen Kettenförderer | |
|---|---|
| Firma: | Datum: |
| Name: | |
| | |
| Schaltzeit [s]: | Ruhezeit [s]: |
| Anzahl Schritte pro Minute: | |
| Antriebswelle des Munzinger-Getriebes dreht dauernd: | |
| Antriebswelle des Munzinger-Getriebes wird nach jedem Schaltschritt still gesetzt: | |
| Schaltweg (L) der Kette bei jedem Arbeitstakt [mm]: | |
| Drehende Massen: | |
| Antriebsräder (D₁) Teilkreis-ø [mm]: Zähnezahl Gewicht/Stück [kg] Anzahl | Getriebene Räder (D₂) Teilkreis-ø [mm]: Zähnezahl Gewicht/Stück [kg] Anzahl |
| Welle der Antriebsräder (d₁) Außen-ø [mm] Gewicht/Stück [kg] Anzahl Art der Lagerung Reibungskoeffizient | Welle der getriebenen Räder (d₂) Außen-ø [mm] Gewicht/Stück [kg] Anzahl Art der Lagerung Reibungskoeffizient |
| Linear bewegte Massen: | |
| Gesamtgewicht der Kette(n) und der Aufnahmen [kg]: | |
| Gesamtgewicht der zu fördernden Aufnahmen [kg]: | |
| Stützschiene(n) (Kettenführung) | |
| Werkstoff | |
| Reibungskoeffizient | |
| Gewicht der einzelnen Stationen [kg]: | |
| Kettenvorspannung (P – falls gegeben) [kg] | |
| Angaben über zusätzliche von außen wirkenden Kräften / Momenten (falls gegeben): | |
| Angaben über eventuelle Übersetzung zwischen Munzinger-Getriebe und Drehteller: | |
| Erwartete Lebensdauer (in Betriebsstunden): | |

MUNZINGER
KURVENGETRIEBE

www.munzinger-kurvengetriebe.de
info@munzinger-kurvengetriebe.de

Tel: 07951/483 25 0

Fax: 07951/483 25 99